

УДК 612.858.4.5:612.813.3—092.9

БІОЕЛЕКТРИЧНА АКТИВНІСТЬ КОХЛЕАРНОГО АПАРАТА І СЛУХОВОГО НЕРВА НОРМАЛЬНИХ КІШОК

Е. А. Бакай

Лабораторія фізіології та патології ЛОР Київського інституту отоларингології

Останнім часом у ряді країн здійснено спроби використання електрофізіологічних методів для об'єктивної оцінки функціонального стану різних відділів звукового аналізатора [1, 7, 9, 10, 11, 12, 13, 14, 16, 17, 18].

Ми вивчали можливі відхилення мікрофонної відповіді завитки і потенціалу дії акустичного нерва кішок.

Дослідження у гострих експериментах проведені на 35 здорових двомісячних та 90 кішок середнього віку обох статей.

Кішок наркотизували введенням у черевну порожнину етаміналу натрію з розрахунку 40—60 мг/кг та фіксували у станку.

Оперативним підходом по [3] в модифікації [5] оголяли *bulła ossea* вискової кістки. Зразу ж після цього голову тварини розміщали так, щоб кругле вікно було доступне для оперативного втручання. Після цього тварині під контролем операційного мікроскопа підводили електрод до задньо-латеральної ділянки ніші круглого вікна і фіксували за допомогою ціакринового клею. Електродом служив багатожилний срібний дротик, вкритий тефлоновою ізоляцією діаметром 0,12 мм. Кінець дротика згинали у вигляді петлі, щоб не пошкодити мембрану круглого вікна.

Після операції кішку у фіксаторі розміщали в звукоізоляційній і електроекранованій камері.

Відведення потенціалів було монополярним. Як індіферентний електрод застосовувалась звичайна голка від шприца діаметром 0,2 мм, яку вводили у м'язи шиї. Відвідні електроди після ретельного екранування підключали до підсилювача біопотенціалів УБПІ-01 через прямий вихід, без катодного повторювача. З виходу підсилювача сигнал подавали на осцилоскоп типу СІ-4, з його екрана проводилось фотографування.

З цією метою ми запропонували систему синхронного фотографування, яка складається з зовнішньої електронної схеми синхронізації, вмонтованої в електронний автоматичний імпульсний ключ, та системи внутрішнього запуску ЕНО-1. Це дало змогу здійснювати фотографування з екрана в потрібний момент часу і в заданій фазі сигналу, а також неодноразове повторювання сигналу, робити його строго періодичним і доступним для візуального контролю.

Як звуковий подразник використовували чисті тони частотою від 200 до 8000 гц і білий шум. Чисті тони подавались від генератора звуку ЗГ-11 через електронний автоматичний імпульсний ключ на підсилювач потужності УМ-50а і від нього через ЛАТР на електродинамічний гучномовець 4ГД-28. Весь шлях проходження електричного імпульсу старанно екранувався.

Джерелом білого шуму був спеціальний генератор електронного автоматичного ключа. Щоб одержати потенціал дії слухового нерва застосовувались звукові подразники тривалістю 0,2 мсек. Внаслідок того, що частина електронного ключа не синхронізована з частотою задаючого генератора, при такій малій тривалості імпульсу відрізки синусоїди на виході динаміки починаються в різні фазові моменти. Це утруднює їх реєстрацію і проведення точних вимірювань. Враховуючи все це, ми замінили звуковий генератор на джерело постійної напруги, що дає змогу реєструвати потенціали дії акустичного нерва в одній фазі, однакової форми, а також легко їх вимірювати і фотографувати.

Інтенсивність звукових подразників становила 90 дб над рівнем 2⁻⁴ бара.

Для подачі звукових подразників експериментальним тваринам по кістковому звукопроведенню (через кості черепа) застосовувався спеціально екранований пермалоєм кістковий телефон.

Частотні характеристики в цих умовах були перевірені і прокалі

Для врахування технічних особливостей різних частот і нерівномірності розроблена система контролю вольметра ТР-1101 і електрон

Електричний імпульс, який вимірювався на спеціальній шкалі шумометром, подавався на електродні страції біопотенціалів і контролювався на тій же відстані

Беручи до уваги, що величина потенціалів дії акустичного нерва кішки знаходиться в межах десяти тваринах.

У гострому досліді спеціально вивчали фонні потенціали завитки і вивчали промониторіума.

Було встановлено, що амплітуда мікрофонної відповіді зменшується (див. рисунок 1).

Амплітуда мікрофонної відповіді нерва не перевищує впливаючого сигналу. Практично без порога, мікрофонної відповіді не спостерігається під впливом звуку і тільки до 30—40 дб [20]. При збільшенні інтенсивності звуку до 80 дб зростає амплітуда експоненціального характеру наступному підвищенні інтенсивності звуку збільшення амплітуди спостерігається [19].

Залежність величини амплітуди відповіді завитки від величини впливаючого сигналу від краю мембрани круглого вікна. С — відстань від мембрани круглого вікна до електродів відповіді. А — амплітуда мікрофонної відповіді.

При дії на завитку амплітуди відповіді від нього залежить припущення на роботу електронного блоку, як саме накладе впливає на зворотні елементи. Вплив модифікованого мікроскопа електрод був кався мембрани круглого вікна. Табл. 1. Для порівняння амплітуди відповіді [6], який вкладав на мембрану кішки, її вага мало впливала на величину потенціалу мікрофонної відповіді. Дорівнює 0,850 мв, а за вивчення погрішність на (

Частотні характеристики звуковипромінювання та інтенсивність тонів при різних частотах були перевірені і прокалібровані.

Для врахування технічних огріхів апаратури (резонансу звуковипромінювачів на різних частотах і нерівномірності частотних характеристик іншого походження) була розроблена система контролю, яка складається із мікрофона «МД-200», лампового вольтметра ТР-1101 і електронного осцилографа ЕНО-1.

Електричний імпульс, який подавався від ЗГ-11, вимірювався ламповим вольтметром, а випромінюваний електродинамічним гучномовцем звуковий сигнал вимірювався шумометром, подавався на осцилограф ЕНО-1 для вимірювання. Осцилографи для реєстрації біопотенціалів і контролю звукового імпульсу були однотипними; мікрофон знаходився на тій же відстані, що й вухо експериментальної тварини.

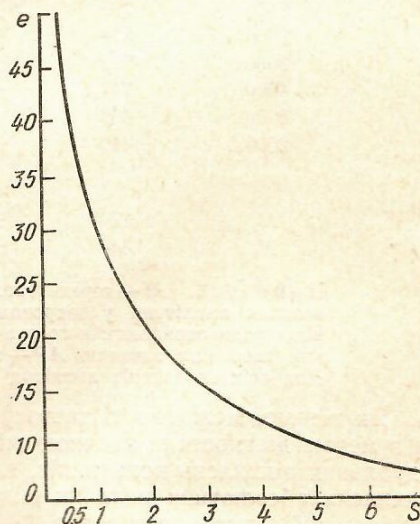
Беручи до уваги, що величина амплітуд мікрофонних потенціалів завитки і потенціалів дії акустичного нерва залежить від того, на якій відстані щодо центра мембрани круглого вікна знаходиться електрод, ми провели спеціальні дослідження на десяти тваринах.

У гострому досліді спеціальним тонким електродом записували амплітуди мікрофонних потенціалів завитки в центрі мембрани круглого вікна, на периферії, з ніші і промоніторума.

Було встановлено, що на кожний міліметр віддалення від овально-го вікна амплітуда мікрофонного потенціалу завитки експоненціально зменшується (див. рисунок).

Амплітуда мікрофонних потенціалів завитки і потенціалів дії акустичного нерва не перебуває у лінійній залежності від інтенсивності впливаючого сигналу. Виникаючи практично без порога, амплітуда мікрофонної відповіді лінійно зростає під впливом звуку інтенсивністю до 30—40 дБ [20]. Потім при збільшенні інтенсивності до 70—80 дБ зростання амплітуди набуває експоненціального характеру, при наступному підвищенні інтенсивності звуку збільшення амплітуди не спостерігається [19].

Залежність величини амплітуди мікрофонової відповіді завитки від величини віддалення від краю мембрани круглого вікна. S — відстань від мембрани круглого вікна до відповідного електрода в мм, e — величина амплітуди мікрофонних потенціалів завитки в мм.



При дії на завитку звуків різної частоти залежність величини амплітуди відповіді від інтенсивності змінюється дуже мало, що дозволяє зробити припущення про її універсальний характер. Щоб з'ясувати питання, як саме накладання електрода на мембрану круглого вікна впливає на зворотні електричні відповіді завитки, шести кішкам з допомогою модифікованого стереотаксичного приладу і операційного мікроскопа електрод був підведений так, щоб він лише легенько торкався мембрани круглого вікна. Одержані результати наведені у табл. 1. Для порівняння у даному випадку можна взяти дані Бекеші [6], який вкладав на мембрану круглого вікна коливні електроди, тому їх вага мало впливала на мембрану. За його даними, середній потенціал мікрофонної відповіді завитки при застосуванні таких електродів дорівнює 0,850 мВ, а за нашими даними — 0,839 мВ, отже сам електрод вносить погрешність на 0,011 мВ.

УДК 612.858.4.5:612.813.3—092.9

КОХЛЕАРНОГО АПАРАТА КОШКА

Інституту отоларингології

спроби використання елек-
тричної функціонального стану
7, 9, 10, 11, 12, 13, 14, 16,

мікрофонної відповіді завитки і

на 35 здорових двомісячних та
кошці етіології натрію з розра-

операції *bulla ossea* вискової кіст-
ки так, щоб кругле вікно було до-
держано під контролем операційного
вікна і для ділянки ніші круглого вікна і
допомоги багатожильний срібний
(12 мм. Кінець дротика згинали у
вікна.

звукоізоляційній і електроекрано-

індіферентний електрод застосо-
вався, яку вводили у м'язи шні. Від-
ключали до підсилювача біопотенціал-
сторозача. З виходу підсилювача
ради проводилося фотографування.
Особливого фотографування, яка скла-
ла, вмонтованої в електронний авто-
матичний запуску ЕНО-1. Це дало змогу
визначити час і в заданій фазі сигна-
лу робота його строго періодичним і

тона частотою від 200 до 8000 гц
звуку ЗГ-11 через електронний
джерела УМ-50а і від нього через
весь шлях проходження електрич-

атор електронного автоматичного
застосовувались звукові подразни-
чливі електронного ключа не синхроні-
зації тривалості імпульсу відрізки
фазові моменти. Це утруднює їх
визначити все це, ми замінили звуковий
у реєструвати потенціали дії аку-
стичного нерва легко їх вимірювати і фото-

0 дБ над рівнем 2—4 бара.
тваринам по кістковому
спеціально екранований пермалоєм

В нормі у кішок величини мікрофонних потенціалів коливаються від 440 до 880 мкв, залежно від частоти застосованого звукового подразника (табл. 1).

Величини зубця N_1 потенціалу дії восьмого нерва варіювали від 880 до 1034 мкв, а зубця N_2 — від 440 до 506 мкв (табл. 1).

Таблиця 1
Відхилення величин CM і AP від їх середньоарифметичних значень у нормальних кішок

| Частота звуку в герцах | Звукопровідність по повітрю | | Звукопровідність по кістці | |
|------------------------|-----------------------------|------------|----------------------------|------------|
| | M (мкв) | ΔM | M (мкв) | ΔM |
| | CM | | | |
| 200 | 704 | ± 88 | 528 | ± 88 |
| 400 | 814 | ± 66 | 660 | ± 66 |
| 600 | 836 | ± 44 | 814 | ± 66 |
| 800 | 858 | ± 44 | 836 | ± 44 |
| 1000 | 880 | ± 44 | 836 | ± 44 |
| 1200 | 836 | ± 66 | 770 | ± 44 |
| 1600 | 792 | ± 66 | 748 | ± 44 |
| 2000 | 792 | ± 44 | 792 | ± 44 |
| 2500 | 814 | ± 66 | 748 | ± 66 |
| 3000 | 792 | ± 88 | 704 | ± 44 |
| 4000 | 748 | ± 66 | 308 | ± 66 |
| 6000 | 506 | ± 110 | 264 | ± 88 |
| 8000 | 440 | ± 132 | 220 | ± 88 |
| | AP | | | |
| N_1 | 880 | ± 22 | 964 | ± 33 |
| N_2 | 440 | ± 33 | 440 | ± 33 |

Примітка. M — середньоарифметичне значення абсолютних величин амплітуди у мікрвольтах. ΔM — величина відхилення від середньоарифметичного значення амплітуди. CM — мікрофонний потенціал звитки. AP — потенціал дії акустичного нерва. Для всіх показників амплітуд $p < 0,001$.

Як відомо, можливості застосування будь-якого методу дослідження з метою діагностики значною мірою залежить від вираженості індивідуальних відхилень показників, які реєструються у нормі; особливості відхилень абсолютних величин мікрофонних потенціалів звитки і потенціалу дії акустичного нерва (AP) від середньоарифметичних показників відповідних показників наведені у табл. 1.

Слід відзначити, що у 79 з 90 обслідуваних тварин відхилення амплітуд мікрофонної відповіді звитки, які проводились по повітрю в діапазоні частот 200—4000 гц, не перевищували 22—44 мкв (1—2 мм), а в діапазоні 4000—8000 гц — 88 мкв (4 мм).

ΔM величин амплітуд зубців N_1 і N_2 слухового нерва у цих тварин не перевищувало 22—44 мкв.

Лише у 11 кішок ΔM мікрофонних потенціалів звитки, що викликались звуками частотою 200 і 6000—8000 гц, становили 132—176 мкв (6—8 мм).

Отже, у 87,80% кількості тварин показники CM і AP восьмого нерва були стабільні і досить однорідні.

В процесі дослідження відведення потенціалів проводили як прикладанням відвідного електрода до задньо-латеральної ділянки ніші

круглого вікна, так і з криновим клеєм.

Результати вимірювання потенціалу восьмого нерва наведені у

Величини CM і AP активного елемента круглого вікна відповідно

| Частота звуку в герцах | Елек |
|------------------------|------|
| | Зву |

200
400
600
800
1000
1200
1600
2000
2500
3000
4000
6000
8000

N_1
 N_2

У таких випадках, особливо віддалених від нерва значно зменшується активності звитки і потенціалу віддалення відвідного елемента на рисунку.

В результаті проведення важкої кількості тварин слухового нерва, індукованих звуками в діапазоні частот 200—8000 гц манні стандартних умов.

Тільки у 12,2% обслідуваних тварин від середньоарифметичних величин CM і AP слухового нерва.

Для того щоб з'ясувати вплив електричної активності слухового нерва з індивідуальними особливостями місцевими або загальною електричною активністю слухового нерва.

Результати дослідження

них потенціалів коливаються застосованого звукового восьмого нерва варіювали від 506 мкв (табл. 1).

Таблиця 1
Середньоарифметичних кішок

| Звукопровідність по кістці | |
|----------------------------|-----|
| М (мкв) | Δ М |

| | |
|-----|-----|
| 528 | ±88 |
| 660 | ±66 |
| 814 | ±66 |
| 836 | ±44 |
| 836 | ±44 |
| 770 | ±44 |
| 748 | ±44 |
| 792 | ±44 |
| 748 | ±66 |
| 704 | ±44 |
| 308 | ±66 |
| 264 | ±88 |
| 220 | ±88 |
| 964 | ±33 |
| 440 | ±33 |

— значення абсолютних величин відхилення мігуля. СМ — мікрофонді акустичного нерва.

будь-якого методу дослідження нежить від вираженості індукуються у нормі; особливості їх потенціалів завитки і середньоарифметичних показ- бл. 1.

у ваних тварин відхилення і проводились по повітрю в вали 22—44 мкв (1—2 мм), (м).

ухового нерва у цих тварин енциалів завитки, що викли- гц, становили 132—176 мкв

казники СМ і АР восьмого

енціалів проводили як при- о-латеральної ділянки ніші

круглого вікна, так і з допомогою електрода, закріпленого тут же ціакриновим клеєм.

Результати вимірювання таким способом величин СМ і АР восьмого нерва наведені у табл. 2.

Таблиця 2

Величини СМ і АР нормальних кішок, виміряні прикладанням активного електрода до задньо-латеральної ділянки ніші круглого вікна і з допомогою електрода, закріпленого до відповідної ділянки ціакриновим клеєм

| Частота звуку в герцах | Електрод закріплений шляхом прикладання | | Електрод закріплений ціакриновим клеєм | |
|------------------------|---|----------------------------|--|----------------------------|
| | Звукопровідність по повітрю | Звукопровідність по кістці | Звукопровідність по повітрю | Звукопровідність по кістці |
| | М (мкв) | М (мкв) | М (мкв) | М (мкв) |
| | СМ | | | |
| 200 | 704 | 528 | 704 | 528 |
| 400 | 814 | 660 | 858 | 660 |
| 600 | 836 | 814 | 858 | 814 |
| 800 | 858 | 836 | 880 | 836 |
| 1000 | 880 | 836 | 880 | 836 |
| 1200 | 836 | 770 | 858 | 770 |
| 1600 | 792 | 748 | 836 | 748 |
| 2000 | 792 | 792 | 792 | 792 |
| 2500 | 814 | 748 | 792 | 748 |
| 3000 | 792 | 704 | 792 | 704 |
| 4000 | 748 | 308 | 770 | 308 |
| 6000 | 506 | 264 | 528 | 264 |
| 8000 | 462 | 220 | 418 | 220 |
| | АР | | | |
| N ₁ | 880 | 869 | 891 | 869 |
| N ₂ | 440 | 440 | 451 | 440 |

У таких випадках, коли відведення потенціалу проводили з інших, особливо віддалених від круглого вікна точок, величини СМ і АР восьмого нерва значно зменшуються. Градієнт змін величин електричної активності завитки і потенціалу дії акустичного нерва залежно від віддалення відвідного електрода від мембрани круглого вікна наведені на рисунку.

В результаті проведених досліджень було встановлено, що у переважної кількості тварин величини потенціалів СМ завитки і слухового нерва, індукованих звуковими сигналами однакової інтенсивності в діапазоні частот 200—8000 гц, були практично ідентичними при дотриманні стандартних умов відведення потенціалів.

Тільки у 12,2% обслідуваних тварин спостерігались виразні відхилення від середньоарифметичного значення величин потенціалів СМ і АР слухового нерва.

Для того щоб з'ясувати питання про те, чи зв'язані ці відхилення електричної активності завитки і восьмої пари черепно-мозкових нервів з індивідуальними особливостями реактивності кішок, чи з перенесеними місцевими або загальними захворюваннями, ми дослідили біоелектричну активність 35 здорових котенят, віком один місяць.

Результати досліджень наведені в табл. 3.

Таблиця 3
Відхилення величини *СМ* і *АР* від їх середньоарифметичних значень у нормальних котенят

| Частота звуку в герцах | Звукопровідність по повітрю | | Звукопровідність по кістці | |
|------------------------|-----------------------------|------------|----------------------------|------------|
| | <i>М</i> (мкв) | ΔM | <i>М</i> (мкв) | ΔM |
| | <i>СМ</i> | | | |
| 200 | 770 | ± 44 | 572 | ± 66 |
| 400 | 880 | ± 44 | 704 | ± 44 |
| 600 | 924 | ± 22 | 880 | ± 22 |
| 800 | 946 | ± 22 | 858 | ± 22 |
| 1000 | 924 | ± 22 | 858 | ± 22 |
| 1200 | 880 | ± 22 | 814 | ± 44 |
| 1600 | 836 | ± 22 | 792 | ± 22 |
| 2000 | 836 | ± 22 | 836 | ± 22 |
| 2500 | 836 | ± 22 | 792 | ± 44 |
| 3000 | 814 | ± 44 | 748 | ± 44 |
| 4000 | 792 | ± 44 | 352 | ± 44 |
| 6000 | 594 | ± 44 | 286 | ± 66 |
| 8000 | 528 | ± 66 | 264 | ± 66 |
| | <i>АР</i> | | | |
| N_1 | 924 | ± 22 | 902 | ± 22 |
| N_2 | 462 | ± 33 | 451 | ± 22 |

Як видно з таблиці, у нормі у котенят величини мікрофонних потенціалів коливаються від 528 до 946 мкв, залежно від частоти застосованого подразника.

Величина N_1 потенціалу дії восьмого нерва у котенят була на 76 мкв більше, ніж у дорослих кішок.

Слід відзначити, що *СМ* і *АР* восьмого нерва, індуковані звуковими подразниками, проведеними по повітрю і по кістках черепа, практично у всіх 35 котенят були майже однаковими.

Це наводить на думку про те, що ті відхилення у показниках електричної активності периферичного відділу звукового аналізатора, які відзначаються у дорослих кішок, пов'язані з якимись перенесеними захворюваннями.

Незважаючи на окремі відхилення від середньоарифметичних показників стабільність і однорідність електрофізіологічних показників діяльності завитки і слухового нерва нормальних дорослих тварин дозволяє використати їх як критерій інтактності цих утворень.

Аналіз змін потенціалів завитки і акустичного нерва можна застосувати при діагностиці різних варіантів патології периферичного відділу звукового аналізатора.

Література

1. Гершуни Г. В., Андреев А. М., Арапова А. А.—ДАН СССР, Нов. серия, 1937, 16, 8, 437.
2. Неменова Ю. М., Крючкова Г. М., Любина А. Я., Полесс М. Э.—Практикум по технике лабораторных работ. М., «Медицина», 1968.
3. Тимофеев Н. В.—Биотоки внутреннего уха и VIII нерва. Автореф. дисс., М., 1940.
4. Ундриц В. Ф.—ЖУНГБ, 1939, 6, 393.
5. Ямпольский Л. Н.—В сб.: Труды Ленингр. НИИ по болезням уха, горла, носа и речи. 1933, 1, 112.

6. Bekesy G.—Experiments
7. Froom B., Nylen C.
8. Galambos R.—Physiol.
9. Lempert J., Wever E.
10. Perlman H., Case T.
11. Ronis B.—The Laryngosc
12. Ruben P., Bordley J.
13. Ruben R., Bordley J.
14. Ruben R., Walker A.
15. Tasaki I.—J. Neurophysi
16. Yoshie N., Ohashi F.
17. Yoshie N.—The Laryngos
18. Yoshie N., YaMaura
19. Lawrence M. et al.—J.
20. Wever E.—Physiol. Revs

BIOELECTRIC ACTIVITY OF THE COCHLEA AND AUDITORY NERVE

Laboratory of Physiology

On the basis of the data on the bioelectric activity of the peripheral auditory nerve activated by sound, it was established that the results obtained may be identical to those obtained in pathologic changes of the peripheral auditory nerve.

The results obtained may be identical to those obtained in pathologic changes of the peripheral auditory nerve.

Таблиця 3
середньоарифметичних
котянят

Звукопровідність по кістці

| М (ккс) | ΔМ |
|---------|-----|
| 572 | ±66 |
| 704 | ±44 |
| 880 | ±22 |
| 858 | ±22 |
| 858 | ±22 |
| 814 | ±44 |
| 792 | ±22 |
| 836 | ±22 |
| 792 | ±44 |
| 748 | ±44 |
| 852 | ±44 |
| 286 | ±66 |
| 264 | ±66 |
| 902 | ±22 |
| 451 | ±22 |

Ті величини мікрофонних по-
залежно від частоти засто-

нерва у котенят була на

нерва, індуковані звуковими
о кістках черепа, практично

ті відхилення у показниках
ділу звукового аналізатора,
ані з якимись перенесеними

середньоарифметичних по-
рофізіологічних показників
льних дорослих тварин до-
сті цих утворень.
тичного нерва можна засто-
ології периферичного відді-

а А. А.— ДАН ССРСР, Нов. се-

ина А. Я., Полесс М. Э.—
«Медицина», 1968.

VIII нерва. Автореф. дисс., М.,

НИИ по болезням уха, горла,

6. Bekesy G.—Experiments in Hearing., N. Y., 1960.
7. Froom B., Nylen C., Zotterman Y.—Acta Otolar., 1935, 22, 477.
8. Galambos R.—Physiol. Rev., 1954, 34, 3, 497.
9. Lempert J., Wever E., Lawrence M.—Arch. Otolar., 1947, 45, 61.
10. Perlman H., Case T.—Arch. Otolar., 1941, 37, 710.
11. Ronis B.—The Laryngoscop, 1966, 219.
12. Ruben P., Bordley J. et al.—Ann. Otol. Rhinol. Laryngol., 1960, 69, 459.
13. Ruben R., Bordley J., Lieberman A.—The Laryngoscop, 1961, 71, 10, 1141.
14. Ruben R., Walker A.—The Laryngoscop, 1963, 73, 11, 1456.
15. Tasaki I.—J. Neurophysiol., 1954, 17, 2, 97.
16. Yoshie N., Ohashi F., Suruki T.—The Laryngoscop, 1967, 77, 1, 76.
17. Yoshie N.—The Laryngoscop, 1968, 78, 2, 198.
18. Yoshie N., Yamamura K.—Acta Otolar., 1969, Suppl., 252, 37.
19. Lawrence M. et al.—J. Acoust. Soc. America, 1962, 34, 1, 102.
20. Wever E.—Physiol. Revs., 1966, 46, 1, 102.

Надійшла до редакції
4.X 1971 р.

BIOELECTRIC ACTIVITY OF THE COCHLEAR APPARATUS AND AUDITORY NERVE IN THE NORMAL CATS

E. A. Bakay

Laboratory of Physiology and Pathology, Institute of Otolaryngology, Kiev

Summary

On the basis of the data of experimental researches in 125 cats the author studied bioelectric activity of the peripheral section of the auditory analysors.

It was established that the cochlear potentials and the action potentials of the auditory nerve activated by the sound-evoked stimulation over the frequency range 200—8 000 Hz were identical.

The results obtained may be used with the aim of the diagnostic of the various pathologic changes of the peripheral section of the auditory analysors.